

# CFD-HW5

李张鑫 2200011085 工学院

## 一、数理算法原理

### 1. 控制方程与边界条件

#### (1) 控制方程

不可压缩流动由 Navier-Stokes 方程控制：

$$\begin{cases} \frac{\partial \omega}{\partial t} + (v \cdot \nabla) \omega = \nu \Delta \omega \\ \Delta \psi = -\omega \\ u = \frac{\partial \psi}{\partial y}, v = -\frac{\partial \psi}{\partial x} \end{cases}$$

#### (2) 边界条件：

左边界( $x = 0, 0 \leq y \leq 1$ ):

$$u(0, y) = 0, v(0, y) = 0$$

右边界( $x = 1, 0 \leq y \leq 1$ ):

$$u(1, y) = 0, v(1, y) = 0$$

下边界( $y = 0, 0 \leq x \leq 1$ ):

$$u(x, 0) = 0, v(x, 0) = 0$$

上边界( $y = 1, 0 \leq x \leq 1$ ):

$$u(x, 1) = \sin^2(\pi x), v(x, 1) = 0$$

### 2. 数值求解方法

#### (1) 差分格式

$$\frac{\omega_{i,j}^{n+1} - \omega_{i,j}^n}{\Delta t} + \frac{\psi_{i,j+1}^n - \psi_{i,j-1}^n}{2h} \frac{\omega_{i+1,j}^n - \omega_{i-1,j}^n}{2h} - \frac{\psi_{i+1,j}^n - \psi_{i-1,j}^n}{2h} \frac{\omega_{i,j+1}^n - \omega_{i,j-1}^n}{2h} = \nu \frac{\omega_{i,j+1}^n + \omega_{i,j-1}^n + \omega_{i+1,j}^n + \omega_{i-1,j}^n - 4\omega_{i,j}^n}{h^2}$$

## (2) SOR 迭代求解

$$\omega_{i,j}^{n+1} = \Delta t * \left( - \left( \frac{\psi_{i,j+1}^n - \psi_{i,j-1}^n}{2h} \right) \left( \frac{\omega_{i+1,j}^n - \omega_{i-1,j}^n}{2h} \right) + \left( \frac{\psi_{i+1,j}^n - \psi_{i-1,j}^n}{2h} \right) \left( \frac{\omega_{i,j+1}^n - \omega_{i,j-1}^n}{2h} \right) + \nu \frac{\omega_{i,j+1}^n + \omega_{i,j-1}^n + \omega_{i+1,j}^n + \omega_{i-1,j}^n - 4\omega_{i,j}^n}{h^2} + \omega_{i,j}^n \right)$$

$$\nabla^2 \psi_{i,j} = -\omega_{i,j} \Rightarrow \psi_{i+1,j} + \psi_{i-1,j} + \psi_{i,j+1} + \psi_{i,j-1} - 4\psi_{i,j} = -h^2 \omega_{i,j}$$

$$\psi_{i,j}^{(k+1)} = (1 - \omega_{\text{SOR}}) \psi_{i,j}^{(k)} + \frac{\omega_{\text{SOR}}}{4} \left[ \psi_{i+1,j}^{(*)} + \psi_{i-1,j}^{(*)} + \psi_{i,j+1}^{(*)} + \psi_{i,j-1}^{(*)} + h^2 \omega_{i,j} \right]$$

收敛条件:  $\max_{1 \leq i \leq n_x - 2, 1 \leq j \leq n_y - 2} |\psi_{i,j}^{(k+1)} - \psi_{i,j}^{(k)}| < \varepsilon_{\text{SOR}}$

## 二、程序实现

文件结构 具体可见 [https://github.com/NngLee/CFD\\_HW/HW5](https://github.com/NngLee/CFD_HW/HW5)

main.py — 主程序与数值核心

StreamlinePlot.png — 自动生成的流场箭头图

StreamFunction.png — 流函数可视化图

MiddleVelocityU.png — 中心线剖面速度 x 方向

MiddleVelocityV.png — 中心线剖面速度 y 方向

Voracity.png — 涡量可视化图

核心代码片段

```
def SOR(f, omega, xsize, ysize, h, relax_factor):
    max_diff = 0.0
    iter_count = 0

    while iter_count < MAX_ITER:
        max_diff = 0.0
        for i in range(1, xsize-1):
            for j in range(1, ysize-1):
                old_value = f[i][j]
                new_value = (1 - relax_factor) * old_value + relax_factor * 0.25 * \
                    (f[i+1][j] + f[i][j+1] + f[i-1][j] + f[i][j-1] + h*h * omega[i][j])
                f[i][j] = new_value
                diff = abs(new_value - old_value)
                if diff > max_diff:
                    max_diff = diff

            iter_count += 1
            print(iter_count)
            if max_diff <= EPS:
                break

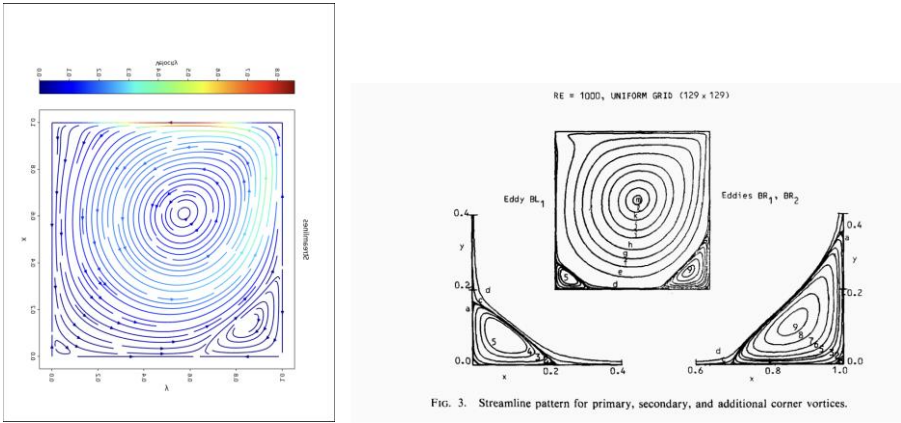
    return iter_count < MAX_ITER and iter_count > 1
```

### 三、结果分析与讨论

本数值模拟旨在复现并对比文献《High-Re Solutions for Incompressible Navier–Stokes Equations Using the Multigrid Method》中  $Re = 1000$ 、 $129 \times 129$  网格条件下的实验结果。计算参数设定如下：网格间距  $h = 0.01$ ，SOR 迭代收敛判据  $EPS = 10^{-5}$ ，时间推进步长  $\Delta t = 0.01$ 。对比分析将聚焦于流线图、涡量图、中心线速度剖面等核心流场特征。

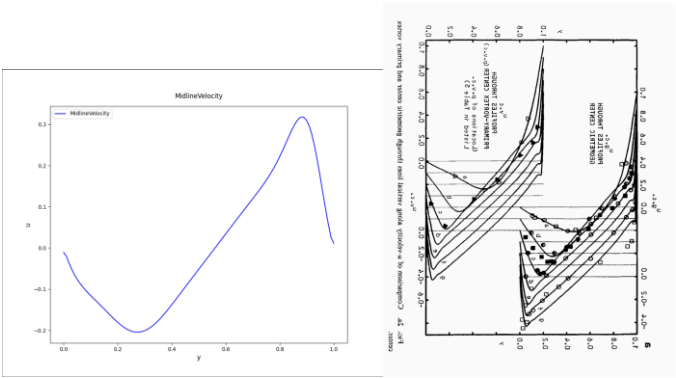
#### 计算结果与基准解对比

##### A. 流线图

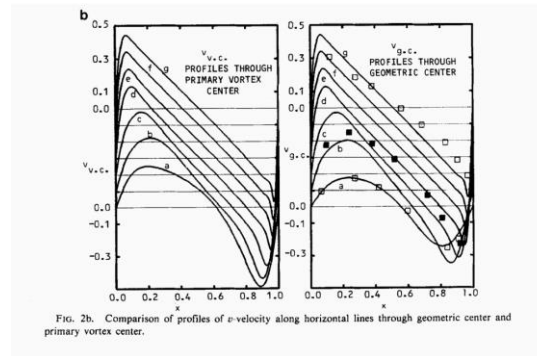
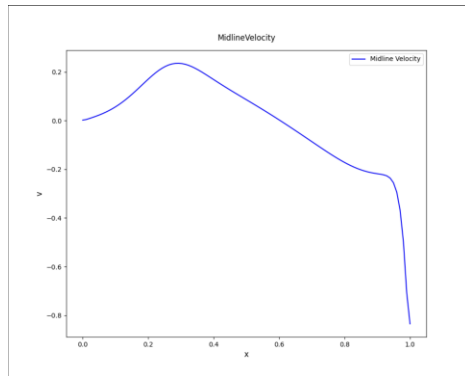


左图为数值模拟计算得到的流线图，右图为基准图，可以发现形状类似，与基准解比较吻合

##### B. 中心线剖面速度

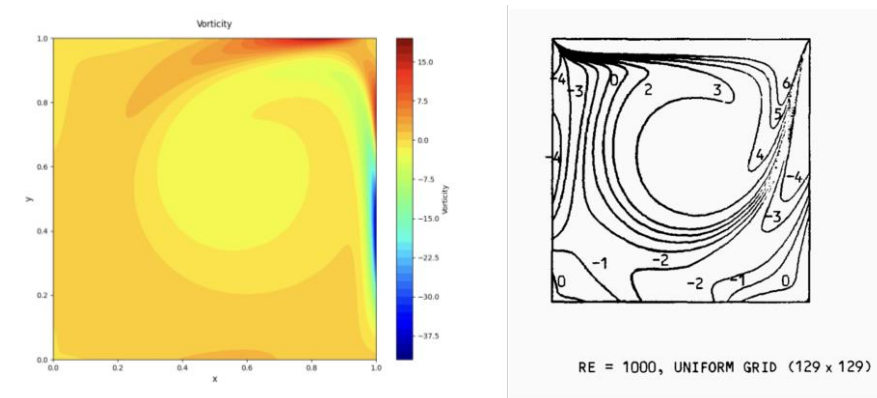


可以发现数值模拟的图与基准图大致形状相同，在临近  $y=1$  时略微有些差异，可能是  $eps$  设置得不够充分小的原因



可以发现数值模拟的图与基准图大致形状相同，在临近  $x=1$  时略微有些差异，可能是  $\epsilon$  设置得不够充分小的原因

### C. 涡量图



涡量图形状与基准解比较类似,计算得到主涡位置  $(0.61, 0.57)$ ，对应流函数-0.074，文献中主涡位置位于  $(0.5313, 0.5625)$ ，对应流函数最小值为-0.117929。存在一定程度的误差，可能是因为  $\epsilon$  选取不够小，导致收敛的精度较低

## 四、AI 工具使用说明与 commit 记录

使用的 AI 工具名称: deepseek

核心算法部分比例:100%

